

長岡高専 正会員 岩橋武彦

## 1. 湖と流域の概況

中禅寺湖は日光火山群のうち最も早く噴出した男体山により旧大谷川の上流地域が閉塞されて生成した火山せき止湖で、湖面標高1271m、周回24km、水面積11.4km<sup>2</sup>、最大深さは172mである。湖の流域面積は125.0km<sup>2</sup>で、これを流域構成成分とすると次のようになる。(図-1)

- ②地城川(湯川)流域  $58.0 \text{ km}^2$  (46.4%)  
 ④外山川・柳沢川流域  $34.5 \text{ km}^2$  (27.6%)  
 ⑤海岸流域  $21.0 \text{ km}^2$  (16.8%)  
 ⑦湖面水域  $11.5 \text{ km}^2$  (9.2%)

## 2. 流入流出關係與湖水位變化

湖の流入河川本流を含むのはかりであるが流量等の実測資料を加めて示す。湖の排水は大谷川への表面流出（25年平均流量  $2.11 \text{ m}^3/\text{s}$ ）と湖底からの湧水（年間ほぼ均等  $4.16 \text{ m}^3/\text{s}$ ）とでなされ、長期的には年排出量の2/3が地下流出であり、このため大谷川下流の流況は非常に良い。大谷川への流出水位は年におり違うが、 $+0.4 \text{ m}$ ～ $+0.5 \text{ m}$ （中官祠量水標 水位は以下同じ）で、例年水位の高まる夏から秋にかけての多雨期に流出し、雨が雪に覆る冬から春にかけて水位は低下し大谷川への流出は大抵この間に止まる。（図-2）湖の水位はこのよう季節を経て週期的な昇降を繰返しているが全般的に見ると高水位を持续；毎年ど冬季の減水が少いよう傾向がある。調査の対象期間である大6～昭16の25年間の最高水位は大8・9月出水の $+2.18 \text{ m}$ で、このときの大谷川流出量は  $75.0 \text{ m}^3/\text{s}$ 、水位上昇から計算される湖の最大流入量は  $25.2 \text{ m}^3/\text{s}$ であった。また最低水位は昭16.5.1の  $-0.63 \text{ m}$ である。

### 3. 降水量と流出高との関係

湖の流入量は実測資料がほとんどないため湖水位変化と大谷川流量および漏水量とで毎月ごとに流出高 (mm) として計算した。これに用いた資料は湖の人工調整開始前の大6～昭16の25年である。降水量は湯元の資料のある大13～昭10の12年を用い、これと中宮祠の観測値の算術平均と流域の代表降水量とした。降水量と流出高との関係を見ると、流域の気象的条件と構成流域の流出特性を考慮し図-3 および図-4 に示すよう両者の対応関係をとった。これらの図から次のことが言える。ケース(a)の冬暦の流出高は冬季の降水量とはほとんど無関係である。ケース(b), (c), (d)の流出率はいずれも降水量が小さい年ほど大きくなるが、それぞれの対応期間のとり方による差異が表われている。このうち(d)の年流出高は年降水量と“水年”としても一応対応があるが、年降水量が小さ

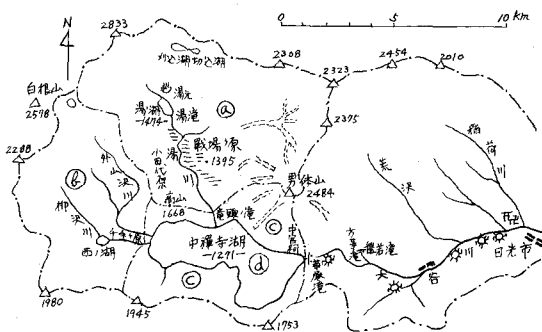


図-1 中禅寺湖(大谷川)流域図

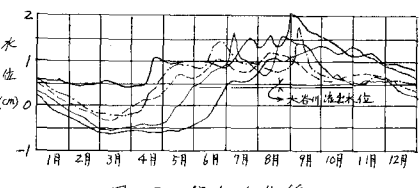


圖-2 湖水位曲線

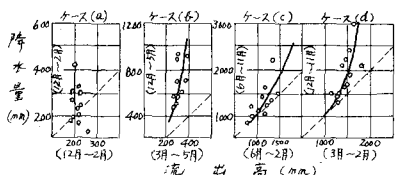
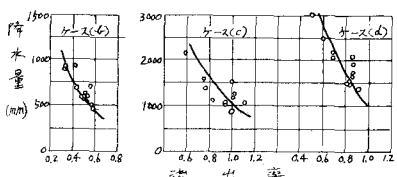


図-3 降水量と流速高さの関係



#### (8)-4 降水量と流出率との関係

くなり / 1000 mm 程度にすれば年流出率はほぼ 1 に達する傾向を示す。一般に河川の年降水量と年流出高との関係は図-5 に示すように傾向をもつものが多いが、これに対する中禪寺湖流域の場合が上記のような関係を示すのは、一たんその流出の“遅滞性”(retarding) によるものと見ることが出来る。

#### 4. 冬季流出量の減衰(递減)

(1) 湖水位曲線から見た減衰過程 冬季にかけた大谷川流出停止後の湖水位の低下曲線(図-6)を見ると、水位は脈動的・波動的な変化や時に不規則な昇降を交えながら低下していくので短い期間の水位曲線からは冬季間を通じての減衰の大手は掴みがたい。水位の低下する割合もその起始が早いか遅いかとは関係はないようである。

(2) 月流出高の減衰 大谷川への流出期間を含めて、大体減水期間に入ると見られる 11 月以降の各月の流出高の変化を 25 年について見ると、冬季減水期間としては大体 12 月～2 月の 3 ヶ月に限定される。しかしこの 3 ヶ月も各月間の減衰率には相違なく乱れがある。本的には減衰率が 1 以上となる月も 3 年ある。一方、この冬季間の月最小流出高は約 5.0 m<sup>3</sup>/s (流域 100 km<sup>2</sup> 当り 0.96 m<sup>3</sup>/s) で、これは流入河川の数少ない測定による湯水流量とほぼ近似している。このことから冬季間の月流出高の上記の乱れは、その小さな原因としては湖水位そのものがセイシ・風の吹寄せ・湖面への降雪・融雪・漏水などの影響を受けていることも考えられるが、より大きな原因としては、この期間がまだ表面流出が続いているので“不安定”な流出過程内にあるためと考えられる。

#### 5. 水年流況と冬季流出量との関係

前節まで述べたところを要約すると、湖への流出量の水年間の変化は次のような流量構成の推移として見ることが出来る。i) 冬季間に減少する流量は 11 月までに流域内に蓄積された地表水・地下水によって養われ、一般河川や無降雨日の流量のように年指数関数的ではなく。ii) 春になって増大する流量は冬季流量の延長の上に融雪と降雨出水が加わったもので、湖面および湖岸からの直接流出は余り含まれない。iii) 夏秋季の流量は春の出水の停滞流出後に降雨出水が加わったもので、特に著しい増水を来すことが多い。iv) 晩秋から初冬にかけての流量は夏秋の多雨期から冬季の減水期に移行する過渡的な流量構成をもち流れは次第に安定に向う。以上のよる季節的各流出状況の動きから、これと冬季流出量との関係については、図-7 のような流出のモデルと対応期間を想定して考察した。その結果次のような関係式を得た。

$$a_1 = 1.5 A_1^{0.6} \quad \dots \dots \dots (1)$$

$$a_2 = 3.5 \times 10^{-5} A_1^2 + 1.05 A_2^{0.6} \quad \dots \dots \dots (2)$$

$$a_3 = 7.5 \times 10^{-5} A_1^2 + 0.625 A_2^{0.6} \quad \dots \dots \dots (3)$$

ただし上式中  $a_1, a_2, a_3$  は図-7において 12 月、1 月、2 月の各冬季流出高、 $A_1, A_2$  は同じく前期・後期各流出高である。この式による計算値と実際値との比較は図-8 に、また  $A_2^{0.6}/A_1^2$  と冬季各月量間の減衰率との関係は図-9 に示す。これによると前者では冬季の期間を長くとれば計算値の差はやや少くなり、後者の減衰率の関係は 1 月量を折半して 1/2 月量、2 月量に加えてその乱れは幾分少くなるようである。

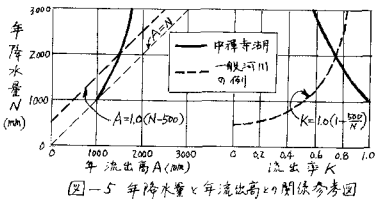


図-5 年降水量と年流出高の関係参考図

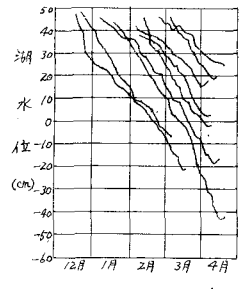


図-6 湖水位低下曲線

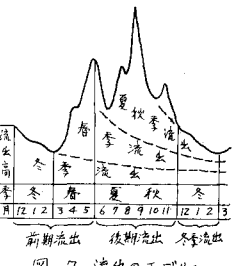


図-7 流出のモデル

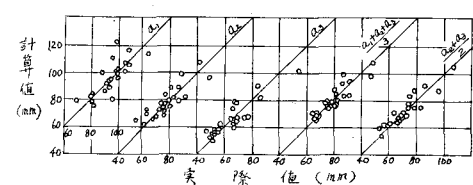


図-8 冬季流出高の計算値と実際値との比較

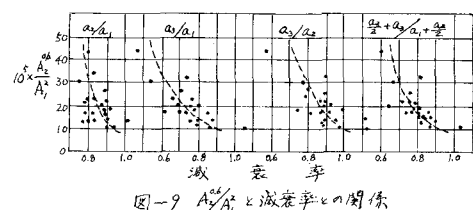


図-9  $A_2^{0.6}/A_1^2$  と減衰率との関係